

Metode *Split Step Fourier* Untuk Menyelesaikan *Nonlinear Schrödinger Equation* Pada *Nonlinear Fiber Optik*

Endra

Fakultas Ilmu Komputer, Jurusan Sistem Komputer, Universitas Bina Nusantara
Jl K.H. Syahdan No.9, Kemanggisan, Jakarta 11480, Indonesia
email : endraoey@binus.ac.id

ABSTRAK

Pada tulisan ini dibuat algoritma numerik untuk melakukan metode *Split Step Fourier* (*SSF*) dalam menyelesaikan *Nonlinear Schrödinger Equation* (*NSE*) pada *nonlinear fiber* optik. Juga dibuat algoritma numerik untuk melakukan metode *Symmetrized Split Step Fourier* (*SSSF*) sebagai pengembangan dari metode *SSF*. Hasil dari metode *SSF* dan *SSSF* ini dibandingkan dengan solusi eksak dari *NSE* dan didapatkan metode *SSSF* memberikan tingkat kesalahan yang lebih kecil dibandingkan metode *SSF*. Dianalisa juga pengaruh *step size* dan jumlah titik *Fast Fourier Transform* (*FFT*) pada metode *SSF* dan *SSSF* dan didapatkan hasil bahwa semakin kecil *step size* maka tingkat kesalahan dari metode *SSF* akan semakin kecil, sedangkan pada metode *SSSF* tingkat kesalahan cenderung tetap. Jumlah titik *FFT* baik pada metode *SSF* dan *SSSF* tidak mempengaruhi tingkat kesalahan.

Kata kunci: Algoritma numerik, *Split Step Fourier* (*SSF*), *Nonlinear Schrödinger Equation* (*NSE*), *Step size*, *Fast Fourier Transform* (*FFT*).

1. PENDAHULUAN

NLSE adalah persamaan diferensial parsial nonlinier yang memodelkan perambatan gelombang dalam suatu medium nonlinier. *NLSE* ini merupakan bentuk nonlinier dari persamaan *Schrödinger* dua dimensi pada fisika hanya saja parameter waktu dan spasialnya bertukaran [1].

Untuk medan kompleks, A , yang merambat dalam suatu medium, persamaan tersebut dapat dituliskan dalam bentuk :

$$i \frac{\partial A}{\partial z} = -\frac{1}{2} T \frac{\partial^2 A}{\partial t^2} + V |A|^2 A \quad (1)$$

dimana T dan V adalah parameter linier dan nonlinier dari medium tersebut, z adalah arah dari perambatan gelombang dan t adalah waktu.

Sifat *non-linear* pada fiber optik dibagi menjadi dua kategori, yaitu *stimulated scattering* (*Raman and Brillouin*) dan *optical Kerr effect* yaitu perubahan indeks bias terhadap daya optik (*nonlinear refractive index*). Dimana *stimulated scattering* menyebabkan kebergantungan *gain* atau *loss* terhadap intensitas. Perbedaan utama antara *stimulated scattering* dan *Kerr effect* adalah *stimulated scattering* memerlukan batas level daya untuk dapat terjadi sedangkan *Kerr effect* tak memerlukannya [2].

Untuk memodelkan perambatan pulsa optik pada fiber optik nonlinier maka *NLSE* dituliskan menjadi :

$$\frac{\partial A}{\partial z} + \frac{i}{2} \beta_2 \frac{\partial^2 A}{\partial t^2} = ig |A|^2 A \quad (2)$$

dimana A , β_2 dan g adalah *pulse envelope* (*slowly varying variable*), parameter linier yaitu *GVD* (*Group Velocity Delay*) yang merupakan sifat dispersi dari fiber optik dan parameter nonlinier. T adalah waktu di dalam kerangka acuan yang bergerak bersama pulsa, dimana $T = t - z/v_g$ dan v_g adalah kecepatan *group* pada pusat panjang gelombang.

Pers. (2) tersebut berlaku dengan asumsi-asumsi : lebar pulsa optik ≥ 0.1 ps, pulsa optik merambat di dalam fiber tanpa pelemahan (*lossless fiber*), hanya *Kerr effects* yan diperhitungkan dan pulsa optik tetap terpolarisasi linier sepanjang perambatannya [3].

Pers. (2) dapat dituliskan dalam bentuk normalisasi :

$$\frac{\partial U}{\partial x} + \text{sgn}(\beta_2) \frac{i}{2} \frac{\partial^2 U}{\partial t^2} = iN^2 |U|^2 U \quad (3)$$

$$\text{dimana : } t = \frac{T}{T_0} ; \quad L_D = \frac{T_0^2}{|\beta_2|} ; \quad L_N = \frac{1}{gP_0} ; \quad x = \frac{z}{L_D} ;$$

$$N^2 = \frac{L_D}{L_N} ; \quad U = \frac{A}{\sqrt{P_0}} \text{ and } \text{sgn}(\beta_2) \text{ bernilai } +1 \text{ and } -1$$

bergantung pada apakah β_2 positif atau negatif. U , P_0 , ξ , T_0 , L_D , dan L_N adalah pulse envelope ternormalisasi, daya puncak pulsa, jarak ternormalisasi, lebar pulsa input, panjang dispersi dan panjang nonlinier.

2. METODE

Pers. (3) akan diselesaikan secara numerik menggunakan metode *SSF* dengan membuat programnya. Dengan memberikan nilai input tertentu sehingga pers. (3) didapatkan solusi eksak-nya kemudian dibandingkan dengan solusi dari metode *SSF*.

2.1 Metode SSF

Persamaan (2.17) dapat diselesaikan secara numerik menggunakan *SSF* menuliskan persamaan (2.17) dalam bentuk :

$$\frac{\partial U}{\partial x} = \left(\hat{D} + \hat{N} \right) U \quad (4)$$

\hat{D} adalah operator differensial untuk sifat linier fiber :

$$\hat{D} = -\operatorname{sgn}(b_2) \frac{i}{2} \frac{\partial^2}{\partial t^2} \quad (5)$$

\hat{N} adalah operator differensial untuk sifat non-linier fiber :

$$\hat{N} = iN^2 |U|^2 \quad (6)$$

Solusi persamaan (4) adalah :

$$U(x + \Delta x, t) = \exp\left(\Delta x \hat{D}\right) \exp\left(\Delta x \hat{N}\right) U(x, t) \quad (7)$$

dimana $h = \text{step size}$ dinormalisasi terhadap L_D , jika nilai h cukup kecil maka pers. (7) dapat dituliskan :

$$U(x + \Delta x, t) \approx \exp\left(\Delta x \hat{D}\right) \exp\left(\Delta x \hat{N}\right) U(x, t) \quad (8)$$

Solusi *NLSE* pada persamaan (8) disebut metode *SSF* karena perambatan pulsa dari ξ ke $\xi + \Delta\xi$ diselesaikan dengan 2 *step* yaitu *step* pertama dianggap non-linieritas bekerja sendiri ($\hat{D} = 0$) dan *step* kedua dianggap dispersi bekerja sendiri ($\hat{N} = 0$) dimana operasi dilakukan dalam domain frekuensi menggunakan transformasi *Fourier* dengan memanfaatkan algoritma *Fast Fourier Transform* (*FFT*) [4].

Dari pers. (7) dan pers. (8), tingkat kesalahan dari metode *SSF* pada persamaan (8) adalah orde 2 dari *step size* $O(\Delta x^2)$ [3]. Eksekusi dari operator

eksponensial $\exp\left(\Delta x \hat{D}\right)$ di dalam domain *Fourier* menggunakan :

$$\exp\left(\Delta x \hat{D}\right) B(x, t) = \left(F^{-1} \exp\left(\Delta x \hat{D}(iw)\right) F \right) B(x, t) \quad (9)$$

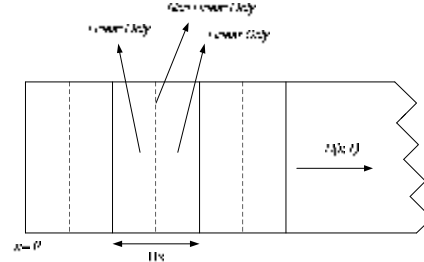
$\hat{D}(iw)$ didapatkan dengan mengganti operator differensial $\frac{\partial}{\partial t}$ dengan iw .

Untuk meningkatkan akurasi maka digunakan metode *Symmetrized Split Step Fourier Method (SSSF)*, lihat Gambar 1. Pada *SSSF* non-linieritas dianggap berada di pertengahan segmen *step size* dan dihitung efeknya untuk keseluruhan segmen sehingga solusi untuk pers. (7) adalah $U(x + \Delta x, t) =$

$$\exp\left(\frac{\Delta x}{2} \hat{D}\right) \exp\left(\int_x^{x+\Delta x} \hat{N}(x') dx'\right) \exp\left(\frac{\Delta x}{2} \hat{D}\right) U(x, t) \quad (10)$$

dimana :

$$\int_x^{x+h} \hat{N}(x') dx' \approx \frac{h}{2} \left(\hat{N}(x) + \hat{N}(x+h) \right) \quad (11)$$



Gambar 1. Metode *Symmetrized Split Step Fourier*.

Pers. (11) digunakan untuk memperhitungkan efek non-linieritas keseluruhan segmen. Persamaan (10) memerlukan iterasi karena $\hat{N}(x + \Delta x)$ tidak diketahui pada $\xi + \Delta\xi/2$, awalnya $\hat{N}(x + \Delta x)$ diasumsikan sama dengan $\hat{N}(x)$ kemudian dimasukkan ke persamaan (10) dan hasilnya digunakan untuk menghitung $\hat{N}(x + \Delta x)$.

Tingkat kesalahan dari *SSSF* adalah orde 3 dari *step size* $O(\Delta x^3)$ [3].

2.2 Akurasi dari Metode SSF dan SSSF

Solusi numerik *NLSE* menggunakan metode *SSF* dan *SSSF*, akurasinya akan diuji dengan membandingkan solusi eksak dari *NLSE*. Ketika pulsa input adalah $U(0, \tau) = \operatorname{sech}(\tau)$, maka solusi eksak dari *NLSE* didapat dengan

menggunakan *Inverse Scattering Transform (IST)* dengan $N = 1$ dan β_2 negatif, hasilnya adalah :

$$U(x, t) = \sec h(t) \exp\left(i \frac{x}{2}\right) \quad (12)$$

Dari pers. (12) dapat dilihat bahwa hanya fase dari pulsa yang berubah sedangkan bentuk dan amplitudo pulsa tak mengalami perubahan sepanjang perambatan di fiber optik. Solusi pada pers. (12) disebut *fundamental soliton*, sedangkan solusi untuk $N = 2, 3, 4\dots$ disebut *higher order soliton* [1].

Pers. (12) sangat cocok untuk melihat akurasi dari *SSSFM* karena solusinya adalah sebagai hasil dari interaksi antara dispersi dan sifat non-linier dari fiber.

Parameter *Normalized Square Deviation (NSD)* untuk membandingkan solusi *NLSE* dengan metode *SSF* atau *SSSF* dan dengan *IST* didefinisikan [2] :

$$NSD = \frac{\int_{-\infty}^{\infty} |U_A(x, t) - U_B(x, t)|^2 dt}{\int_{-\infty}^{\infty} |U(0, t)|^2 dt} \quad (13)$$

dimana U_A adalah *output field envelop* menggunakan *SSF* atau *SSSF* dan U_B adalah *output field envelop* menggunakan *IST*.

Pada fiber non-linier, bentuk pulsa pada output fiber dapat menyimpang dari bentuk pulsa inputnya dan dapat memiliki bentuk yang sangat rumit. *RMS pulse width*, σ , sering digunakan untuk menyatakan lebar pulsa dengan lebih akurat. *RMS pulse width* didefinisikan [1] :

$$s = \left[\langle t^2 \rangle - \langle t \rangle^2 \right]^{\frac{1}{2}} \quad (14)$$

$$\int_{-\infty}^{\infty} t^n |U(x, t)|^2 dt$$

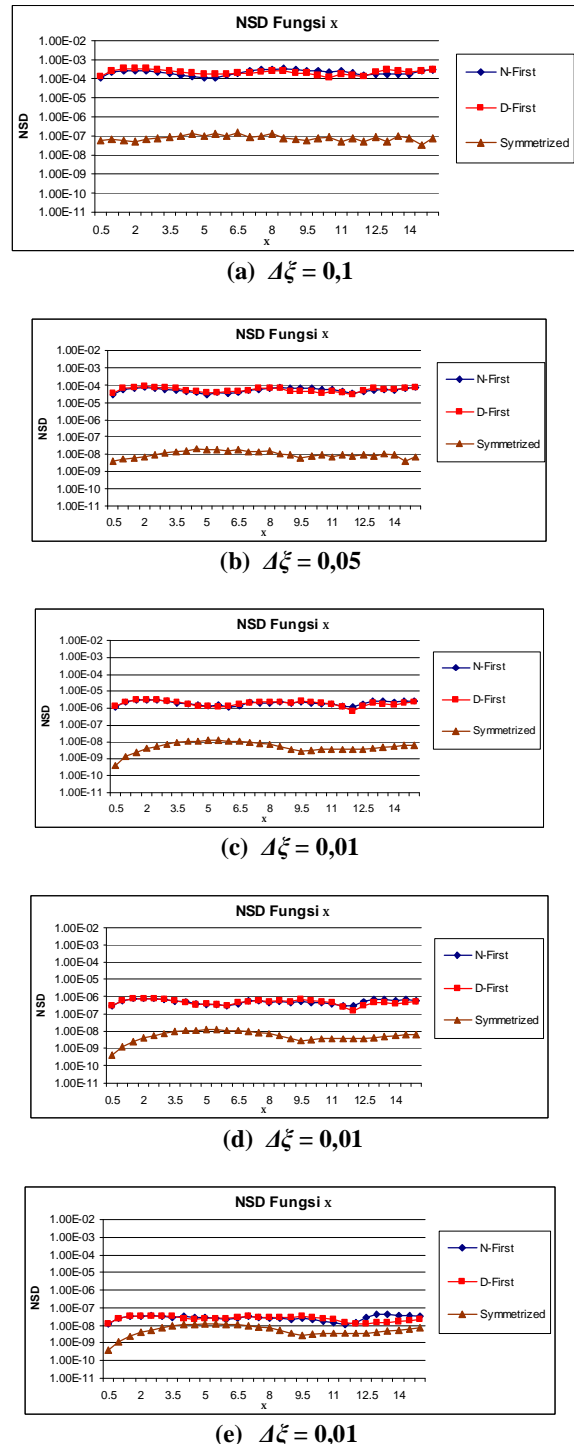
dimana : $\langle t^n \rangle = \frac{\int_{-\infty}^{\infty} t^n |U(x, t)|^2 dt}{\int_{-\infty}^{\infty} |U(x, t)|^2 dt} \quad (15)$

3. HASIL HASIL DAN PEMBAHASAN

3.1 Akurasi dari Metode *SSF* dan *SSSF*

3.1.1 Pengaruh Step Size

Gambar 2.(a) sampai 2.(e) adalah grafik *NSD* terhadap jarak perambatan, ξ untuk nilai $\Delta\xi = 0,1, 0,05, 0,01, 0,005$ dan $0,001$.



Gambar 2. Grafik *NSD* terhadap jarak perambatan, ξ , untuk nilai $\Delta\xi = 0,1, 0,05, 0,01, 0,005$ dan $0,001$.

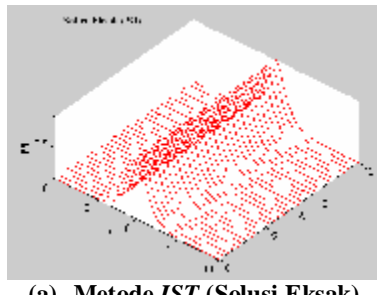
Grafik tersebut diperoleh dengan memberikan input $U(0, \tau) = \operatorname{sech}(\tau)$ pada pers. (3) dengan $N = 1$ (*fundamental soliton*), kemudian membandingkan solusi eksaknya yaitu pers. (12) dengan metode *SSF* dan *SSSF*. Pada metode *SSF*, operasi pada pers. (8) dilakukan dengan dua cara yaitu bagian nonlinier dihitung lebih dahulu baru bagian linier (*N-First*) dan sebaliknya (*D-First*). Nilai NSD dihitung menggunakan pers. (13).

Tabel 1 memberikan nilai rata-rata *NSD* sepanjang perambatan untuk masing-masing metode dan nilai $\Delta\xi$.

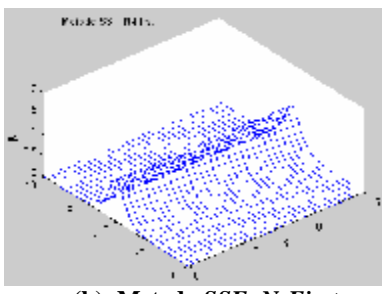
Tabel 1 Nilai NSD rata-rata dengan berbagai nilai $\Delta\xi$ untuk fundamental soliton

Step Size $\Delta\xi$	NSD rata-rata		
	<i>SSF N-First</i>	<i>SSF D-First</i>	<i>SSSF</i>
0,1	$2,14 \cdot 10^{-4}$	$2,25 \cdot 10^{-4}$	$8,18 \cdot 10^{-8}$
0,05	$5,27 \cdot 10^{-5}$	$5,28 \cdot 10^{-5}$	$1,07 \cdot 10^{-8}$
0,01	$2,03 \cdot 10^{-6}$	$1,95 \cdot 10^{-6}$	$6,13 \cdot 10^{-9}$
0,005	$5,08 \cdot 10^{-7}$	$4,81 \cdot 10^{-7}$	$6,12 \cdot 10^{-9}$
0,001	$2,71 \cdot 10^{-8}$	$2,45 \cdot 10^{-8}$	$6,12 \cdot 10^{-9}$

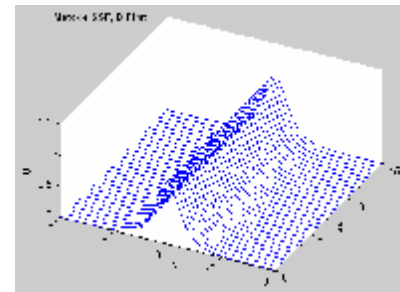
Gambar 3.(a) sampai 3.(d) adalah perambatan *fundamental soliton* untuk solusi eksak menggunakan *IST*, dan metode *SSF* (*N-First* dan *D-First*) dan *SSSF*, untuk $\Delta\xi = 0,005$.



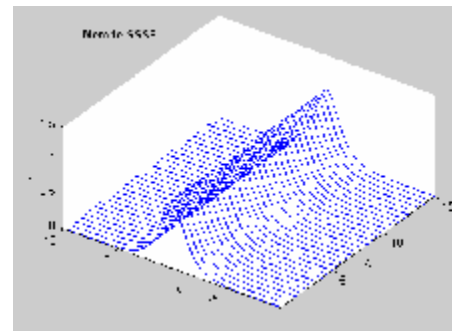
(a) Metode *IST* (Solusi Eksak)



(b) Metode *SSF, N-First*



(c) Metode *SSF, D-First*



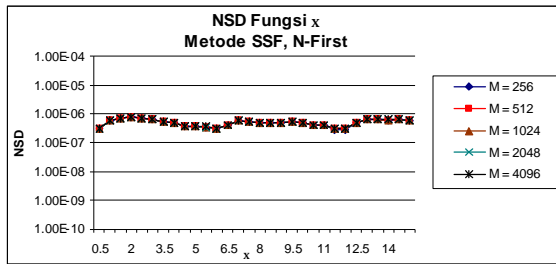
(d) *SSSF*

Gambar 3. Perambatan *fundamental soliton* dengan metode (a). *IST*, (b). *SSF, N-First*, (c). *SSF, D-First* dan (d). *SSSF*, untuk $\Delta\xi = 0,005$.

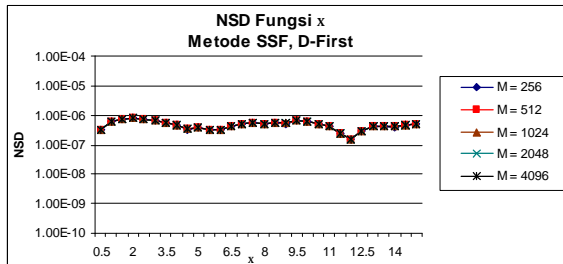
Dari hasil-hasil tersebut dapat dilihat bahwa pada metode *SSF* baik *N-First* maupun *D-First* memberikan hasil yang sama dimana untuk penurunan nilai $\Delta\xi$ sebesar 1 orde memberikan penurunan NSD kira-kira sebesar 2 orde, sesuai dengan tingkat kesalahan yang diturunkan dari pers. 7 dan pers. 8. Metode *SSSF* memberikan tingkat kesalahan yang lebih kecil dibandingkan metode *SSF*, yaitu sekitar 3 orde. Namun tingkat kesalahan ini tidak turun dengan signifikan dengan turunnya $\Delta\xi$ dan tidak berubah untuk nilai $\Delta\xi = 0,01, 0,005$ dan $0,001$. Hal tersebut disebabkan karena metode *SSSF* melakukan proses lebih panjang dan diperlukan iterasi sehingga turunnya tingkat kesalahan disebabkan turunnya $\Delta\xi$ diimbangi dengan naiknya kesalahan yang lain, misalnya kesalahan pembulatan dan kesalahan perhitungan *FFT*.

3.1.2 Pengaruh Jumlah Titik *FFT*

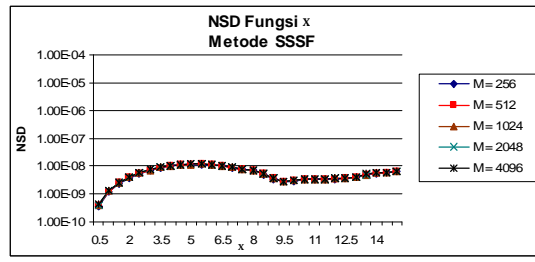
Gambar 4.(a) sampai 4.(c) adalah grafik *NSD* terhadap jarak perambatan, ξ , untuk ketiga metode di atas dengan jumlah sampel *FFT*, $M = 256, 512, 1024, 2048$ dan 4096 dimana digunakan nilai *step size*, $\Delta\xi = 0,005$.



(a) Metode SSF, N-First



(b) Metode SSF, D-First



(c) Metode SSSF

Gambar 4. Grafik NSD terhadap jarak perambatan, ξ , untuk ketiga metode dengan jumlah sampel FFT, $M = 256, 512, 1024, 2048$ dan 4096 .

Tabel 2 memberikan nilai rata-rata NSD sepanjang perambatan untuk masing-masing metode dan nilai $\Delta\xi$.

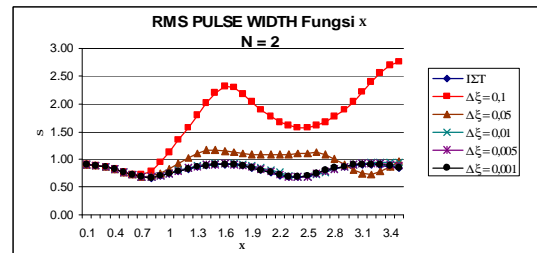
Tabel 2 Nilai NSD rata-rata dengan berbagai jumlah sample FFT untuk fundamental soliton

Jumlah Sampel FFT M	NSD rata-rata		
	SSF N-First	SSF D-First	SSSF
256	$5,04 \cdot 10^{-7}$	$4,78 \cdot 10^{-7}$	$5,85 \cdot 10^{-9}$
512	$5,06 \cdot 10^{-7}$	$4,80 \cdot 10^{-7}$	$6,00 \cdot 10^{-9}$
1024	$5,08 \cdot 10^{-7}$	$4,81 \cdot 10^{-7}$	$6,08 \cdot 10^{-9}$
2048	$5,08 \cdot 10^{-7}$	$4,81 \cdot 10^{-7}$	$6,12 \cdot 10^{-9}$
4096	$5,08 \cdot 10^{-7}$	$4,81 \cdot 10^{-7}$	$6,14 \cdot 10^{-9}$

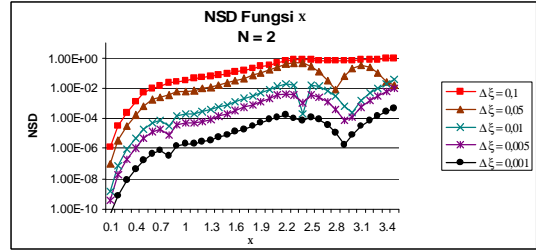
Jumlah sample FFT yang berkaitan dengan frekuensi sampling ditentukan oleh lebar frekuensi dan *bit-rate* dari pulsa optik yang masuk ke dalam fiber optik. Namun dari hasil-hasil tersebut dapat dilihat bahwa pada metode SSF baik *N-First* maupun *D-First* dan metode *SSSF* jumlah sample FFT tidak mempengaruhi tingkat kesalahan.

3.1.3 Higher Order Soliton

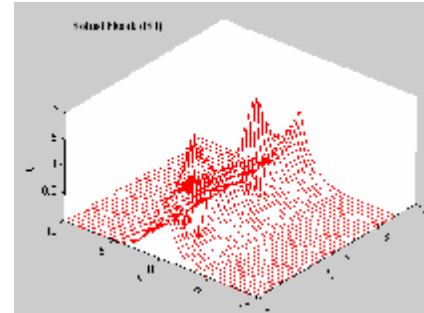
Gambar 5. dan 6. adalah grafik *RMS pulse width* dan *NSD* terhadap jarak perambatan, ξ , hasil solusi *NLSE* untuk $N = 2$ (*soliton* orde 2) menggunakan metode *SSSF* dan solusi eksaknya menggunakan *IST* [].



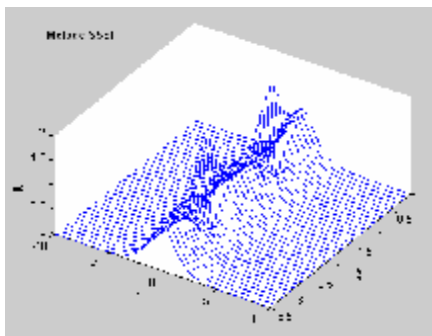
Gambar 5. Grafik *RMS pulse width*, σ , terhadap jarak perambatan, ξ , dengan metode *IST* (solusi eksak) dan *SSSF* untuk nilai $\Delta\xi = 0,1, 0,05, 0,01, 0,005$ dan $0,001$.



Gambar 6. Grafik *NSD* terhadap jarak perambatan, ξ , dengan metode *SSSF* untuk nilai $\Delta\xi = 0,1, 0,05, 0,01, 0,005$ dan $0,001$.



(a) Metode *IST* (Solusi Eksak)



(b) Metode SSSF

Gambar 7. Perambatan soliton orde 2 dengan metode (a). IST, (d). SSSF, untuk $\Delta\xi = 0,005$.

Gambar 7.(a) dan 7.(b) adalah perambatan soliton orde 2 untuk solusi eksak menggunakan *IST*, dan metode *SSSF* dengan $\Delta\xi = 0,005$. Dapat dilihat pada Gambar 7.(a) bahwa pulsa optik yang masuk mengalami evolusi sepanjang perambatannya dimana bentuk dan amplitudonya kembali seperti pulsa input setiap perambatan sejauh $\pi/2$, jarak ini disebut periode soliton, ξ_p .

Tabel 3 Nilai NSD rata-rata dan periode soliton dengan berbagai nilai $\Delta\xi$ untuk soliton orde 2

Step Size $\Delta\xi$	NSD rata-rata	Periode Soliton ξ_p	
		IST	SSSF
-	-	$\pi/2$	-
0,1	$3,65 \cdot 10^{-1}$	-	1
0,05	$1,04 \cdot 10^{-1}$	-	1,2
0,01	$5,32 \cdot 10^{-3}$	-	1,5
0,005	$1,39 \cdot 10^{-3}$	-	1,5
0,001	$5,71 \cdot 10^{-5}$	-	1,6

Dari Tabel 3 dapat kita lihat tingkat kesalahan semakin kecil dengan turunnya nilai $\Delta\xi$, demikian juga dengan periode solitonnya, ξ_p , yang semakin mendekati solusi eksak .

4. KESIMPULAN

Metode *SSF* baik *N-First* maupun *D-First* memberikan hasil yang sama dan akurasi yang cukup baik dalam menyelesaikan *NLSE* yaitu dengan tingkat kesalahan turun kira-kira sebesar 2 orde untuk penurunan *step size* sebesar 1 orde.

Metode *SSSF* memberikan tingkat kesalahan yang lebih kecil dibandingkan metode *SSF*, yaitu sekitar 3 orde. Namun tingkat kesalahan ini tidak turun dengan signifikan dengan turunnya *step size*. Hal tersebut disebabkan karena metode *SSSF* melakukan proses lebih panjang dan diperlukan iterasi sehingga turunnya tingkat kesalahan disebabkan turunnya *step size* diimbangi dengan naiknya kesalahan yang lain, misalnya kesalahan pembulatan dan kesalahan perhitungan *FFT*.

Pada metode *SSF* baik *N-First* maupun *D-First* dan metode *SSSF* jumlah sample *FFT* hampir tidak mempengaruhi tingkat kesalahan.

Untuk solusi eksak *NLSE* menggunakan metode *ST* dengan $N = 2$ (soliton orde 2) memberikan hasil bahwa pulsa optik yang masuk mengalami evolusi sepanjang perambatannya dimana bentuk dan amplitudonya kembali seperti pulsa input setiap perambatan sejauh $\pi/2$, dimana metode *SSSF* memberikan tingkat kesalahan semakin kecil dan nilai periode soliton yang semakin mendekati solusi eksak untuk nilai *step size* yang semakin kecil.

REFERENSI

- [1] Agrawal, P. Govind, *Fiber-Optic Communication Systems*, Wiley Series In Microwave And Optical Engineering, (1992).
- [2] Jong-Hyung Lee, *Analysis and Characterization of Fiber Nonlinearities with Deterministic and Stochastic Signal Sources*, Dissertation submitted to the Faculty of the Virginia Polytechnic Institute and State University, Blacksburg, Virginia (February 10, 2000).
- [3] Agrawal, P. Govind, *Nonlinear Fiber Optics*, Academic Press, Sandiego, LA, (1989).
- [4] Natee Wongsangpaiboon, *Variational Calculation of Optimum Dispersion Compensation For Non-Linear Dispersive Fibers*, Thesis submitted to the Faculty of the Virginia Polytechnic Institute and State University, Blacksburg, Virginia (May 17, 2000).